

MECÁNICA DE SÓLIDOS

Curso 2017/18

Titulación:

Grado en Ingeniería Mecánica

Tema 3 – Plasticidad

Profesores:

Jorge Zahr Viñuela
José Antonio Rodríguez Martínez

Tema 3

Plasticidad

3.1 CUESTIONES PREVIAS

3.2 CRITERIOS DE PLASTIFICACIÓN

3.3 CARACTERIZACIÓN DEL ENDURECIMIENTO POR DEFORMACIÓN

3.4 ECUACIONES DE LA PLASTICIDAD (TEORÍA INCREMENTAL Y TOTAL)

3.5 MÉTODOS NUMÉRICOS EN PLASTICIDAD

Tema 3

Plasticidad

3.1 CUESTIONES PREVIAS

3.2 CRITERIOS DE PLASTIFICACIÓN

3.3 CARACTERIZACIÓN DEL ENDURECIMIENTO POR DEFORMACIÓN

3.4 ECUACIONES DE LA PLASTICIDAD (TEORÍA INCREMENTAL Y TOTAL)

3.5 MÉTODOS NUMÉRICOS EN PLASTICIDAD

3.1.1. Visión macroscópica del comportamiento plástico

El análisis macroscópico del comportamiento plástico requiere :

- Definir un **CRITERIO DE PLASTIFICACIÓN** formulado en **3D** con el que se establecen las **condiciones** para que comience el proceso de deformación plástica.
- Describir los procesos de **ENDURECIMIENTO** o de **ABLANDAMIENTO** por deformación, que pueden ocurrir bajo sollicitación mecánica 3D.
- Unas **RELACIONES CONSTITUTIVAS** entre *tensiones* y *deformaciones* en la zona plástica.

En régimen plástico, la **relación constitutiva** entre tensión y deformación suele ser ***no lineal***:

∴ ¡¡ El valioso **Principio de Superposición** ya **NO es aplicable** !!

3.1.2. ¿Por qué estudiar plasticidad?

- **¡¡ La naturaleza es así !!**
- En los materiales reales, tras superar el límite elástico queda aún una **reserva de resistencia** notable:
 - que se puede aprovechar
 - de la que interesa conocer el margen de seguridad
- En régimen plástico se producen importantes **redistribuciones de tensiones**, por lo que aumenta la capacidad resistente de la estructura.
- Hay procesos industriales (extrusión, conformado, trefilado,...) en los que la **deformación plástica es imprescindible**.

3.1.3. Recordatorio sobre el tensor de tensiones

(1/4)

Nota: hay material complementario sobre esto en el **apartado 3.1** del libro [Guía de Problemas](#).

- **Tensor de tensiones en unos ejes genéricos (x,y,z):**

El tensor de tensiones es una variable de campo:

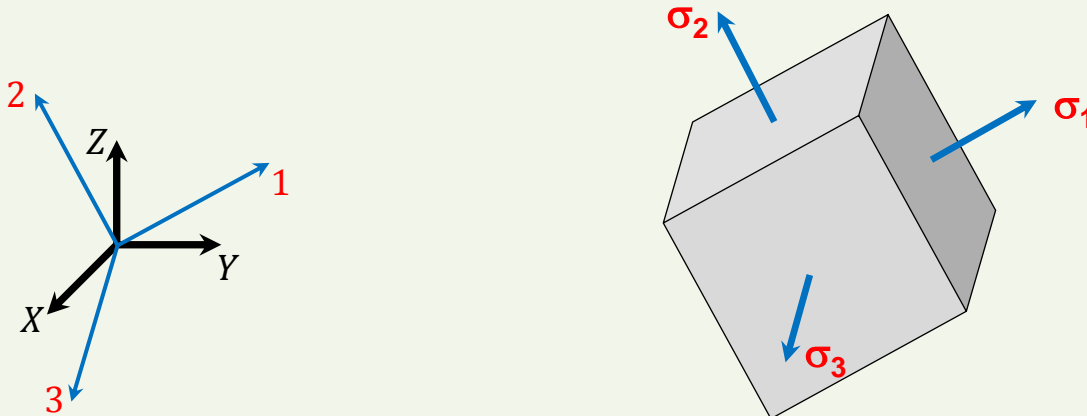
$$\boldsymbol{\sigma} = \bar{\boldsymbol{\sigma}}(\vec{X}, t)$$

$$\sigma_{ij} = \begin{bmatrix} \sigma_{xx} & \tau_{xy} & \tau_{xz} \\ \tau_{xy} & \sigma_{yy} & \tau_{yz} \\ \tau_{xz} & \tau_{yz} & \sigma_{zz} \end{bmatrix}$$

(simétrico)

- **Tensor de tensiones en los ejes principales**

(que suelen estar rotados respecto a los ejes originales **x,y,z**):



$$\sigma_{ij} = \begin{bmatrix} \sigma_1 & 0 & 0 \\ 0 & \sigma_2 & 0 \\ 0 & 0 & \sigma_3 \end{bmatrix}$$

(simétrico)

3.1.3. Recordatorio sobre el tensor de tensiones

(2/4)

- Tensor de tensiones en un sistema de referencia genérico:
$$\sigma = \begin{bmatrix} \sigma_{xx} & \tau_{xy} & \tau_{xz} \\ \tau_{yx} & \sigma_{yy} & \tau_{yz} \\ \tau_{zx} & \tau_{zy} & \sigma_{zz} \end{bmatrix}$$

- Tensor de tensiones referido a las direcciones principales:
$$\sigma = \begin{bmatrix} \sigma_1 & 0 & 0 \\ 0 & \sigma_2 & 0 \\ 0 & 0 & \sigma_3 \end{bmatrix}$$

- Cálculo de tensiones principales (solución de la ecuación característica)
$$\begin{vmatrix} \sigma_x - \sigma & \tau_{xy} & \tau_{xz} \\ \tau_{yx} & \sigma_y - \sigma & \tau_{yz} \\ \tau_{zx} & \tau_{zy} & \sigma_z - \sigma \end{vmatrix} = -[\sigma^3 - \tilde{I}_1 \sigma^2 + \tilde{I}_2 \sigma - \tilde{I}_3] = 0$$

Invariantes

- Invariantes del tensor de tensiones

$$\tilde{I}_1 = \sigma_{xx} + \sigma_{yy} + \sigma_{zz} = \sigma_1 + \sigma_2 + \sigma_3$$

$$\tilde{I}_2 = (\sigma_{xx}\sigma_{yy} + \sigma_{yy}\sigma_{zz} + \sigma_{zz}\sigma_{xx} - \tau_{xy}^2 - \tau_{xz}^2 - \tau_{yz}^2) = \sigma_1\sigma_2 + \sigma_2\sigma_3 + \sigma_3\sigma_1$$

$$\tilde{I}_3 = \sigma_{xx}\sigma_{yy}\sigma_{zz} + 2\tau_{xy}\tau_{yz}\tau_{zx} - \tau_{xz}\tau_{zx}\sigma_{yy} - \tau_{xy}\tau_{yx}\sigma_{zz} - \tau_{yz}\tau_{zy}\sigma_{xx} = \sigma_1\sigma_2\sigma_3$$

3.1.3. Recordatorio sobre el tensor de tensiones

(3/4)

Invariantes del tensor de tensiones (Invariantes de Cauchy):

$$\left[\begin{array}{l} \tilde{I}_1 = \sigma_{xx} + \sigma_{yy} + \sigma_{zz} \\ \tilde{I}_2 = \left(\sigma_{xx}\sigma_{yy} + \sigma_{yy}\sigma_{zz} + \sigma_{zz}\sigma_{xx} - \tau_{xy}^2 - \tau_{xz}^2 - \tau_{yz}^2 \right) \\ \tilde{I}_3 = \sigma_{xx}\sigma_{yy}\sigma_{zz} + 2\tau_{xy}\tau_{yz}\tau_{zx} - \tau_{xz}\tau_{zx}\sigma_{yy} - \tau_{xy}\tau_{yx}\sigma_{zz} - \tau_{yz}\tau_{zy}\sigma_{xx} \end{array} \right. \quad \begin{array}{l} = \sigma_1 + \sigma_2 + \sigma_3 \\ = \sigma_1\sigma_2 + \sigma_2\sigma_3 + \sigma_3\sigma_1 \\ = \sigma_1\sigma_2\sigma_3 \end{array}$$

Estos Invariantes del tensor σ reciben el nombre de “Invariantes de Cauchy”.

- Es evidente que cualquier **combinación** de estos invariantes, será también un **invariante**.
- En Mecánica de Sólidos, son de gran utilidad unos invariantes diferentes, derivados a partir de los invariantes de Cauchy.
- Estos nuevos invariantes se denominan “Invariantes Genéricos” de σ , y se definen como:

$$\left[\begin{array}{l} I_1 = \tilde{I}_1 \\ I_2 = \frac{1}{2}\tilde{I}_1^2 - \tilde{I}_2 \\ I_3 = \frac{1}{3}\tilde{I}_1^3 - \tilde{I}_1\tilde{I}_2 + \tilde{I}_3 \end{array} \right. \quad \begin{array}{l} = tr(\sigma) \\ = \frac{1}{2}tr(\sigma_{ip}\sigma_{pj}) = \frac{1}{2}tr(\sigma^2) \\ = \frac{1}{3}tr(\sigma_{ip}\sigma_{pq}\sigma_{qj}) = \frac{1}{3}tr(\sigma^3) \end{array} \quad \begin{array}{l} = \sigma_1 + \sigma_2 + \sigma_3 \\ = \frac{1}{2}(\sigma_1^2 + \sigma_2^2 + \sigma_3^2) \\ = \frac{1}{3}(\sigma_1^3 + \sigma_2^3 + \sigma_3^3) \end{array}$$

3.1.3. Recordatorio sobre el tensor de tensiones

Tensión hidrostática: $\bar{\sigma} = \frac{\sigma_{xx} + \sigma_{yy} + \sigma_{zz}}{3} = \frac{\sigma_{ii}}{3} = \frac{I_1}{3}$

Componentes del tensor desviador

$$s_{ij} = \sigma_{ij} - \delta_{ij}\bar{\sigma}$$

El tensor de tensiones tiene 2 componentes:

Una *hidrostática* y una *desviadora*.

$$\begin{bmatrix} \sigma_{xx} & \tau_{xy} & \tau_{xz} \\ \tau_{yx} & \sigma_{yy} & \tau_{yz} \\ \tau_{zx} & \tau_{zy} & \sigma_{zz} \end{bmatrix} = \begin{bmatrix} \bar{\sigma} & 0 & 0 \\ 0 & \bar{\sigma} & 0 \\ 0 & 0 & \bar{\sigma} \end{bmatrix} + \begin{bmatrix} \sigma_{xx} - \bar{\sigma} & \tau_{xy} & \tau_{xz} \\ \tau_{yx} & \sigma_{yy} - \bar{\sigma} & \tau_{yz} \\ \tau_{zx} & \tau_{zy} & \sigma_{zz} - \bar{\sigma} \end{bmatrix}$$

Tensor hidrostático σ_{ij}^h

Tensor desviador S_{ij}

Invariantes genéricos del tensor de tensiones desviadoras, **S**:

(en función de las tensiones desviadoras *principales*)

$$\left\{ \begin{aligned} J_1 &= 0 \\ J_2 &= \frac{1}{2}(s_1^2 + s_2^2 + s_3^2) \\ J_3 &= \frac{1}{3}(s_1^3 + s_2^3 + s_3^3) \end{aligned} \right.$$

(en función de las tensiones *principales* del tensor de *tensiones totales*)

$$= \frac{1}{6} [(\sigma_1 - \sigma_2)^2 + (\sigma_1 - \sigma_3)^2 + (\sigma_2 - \sigma_3)^2]$$

Esta igualdad es válida sólo para tensores desviadores

$$= s_1 s_2 s_3$$

Invariantes genéricos del tensor de tensiones desviadoras, **S**:

(en función de los **invariantes genéricos** del tensor de tensiones totales: I_1, I_2 e I_3)

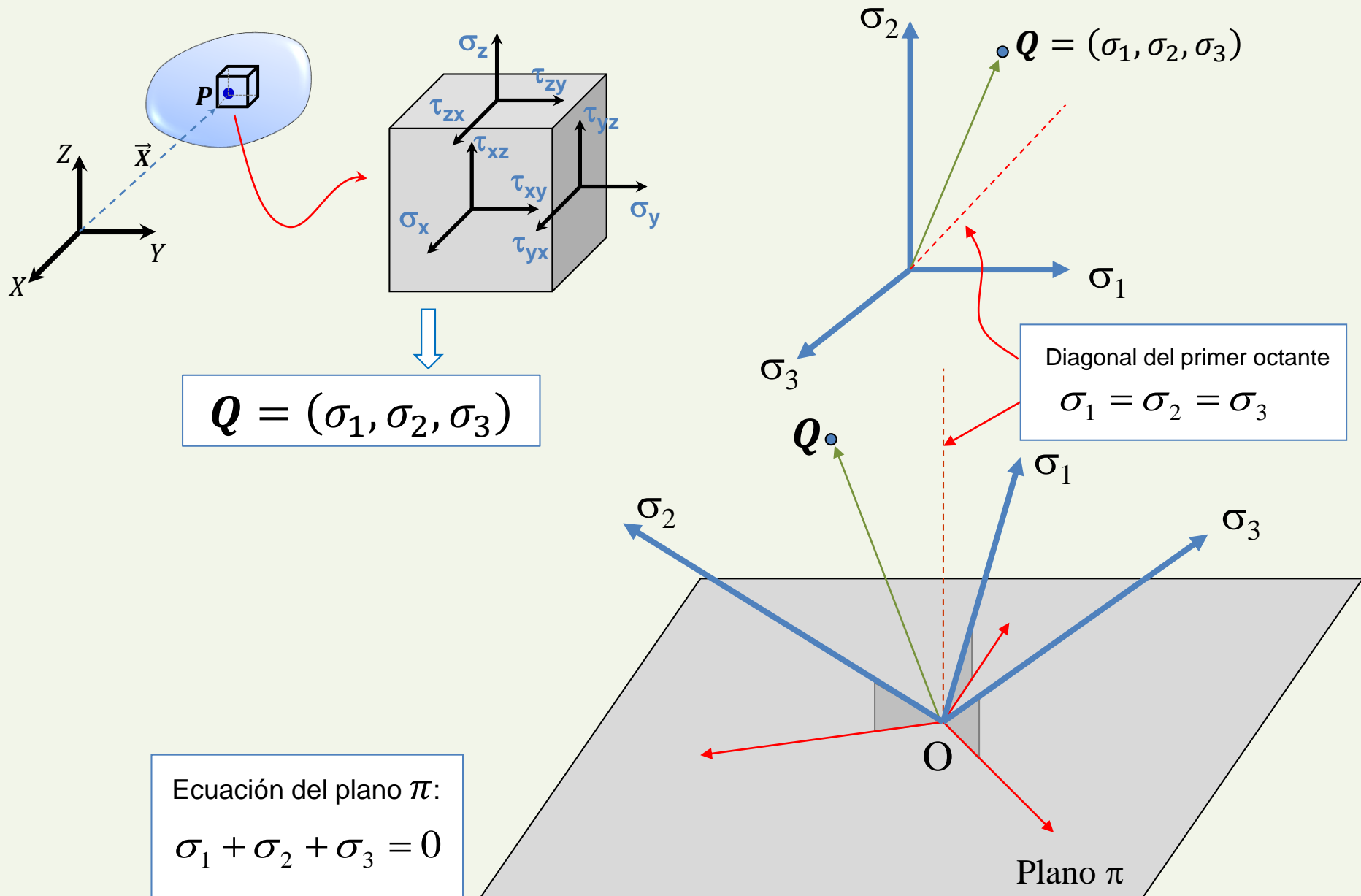
$$\left\{ \begin{aligned} J_2 &= I_2 - \frac{I_1^2}{6} \\ J_3 &= I_3 - \frac{2}{3}I_1I_2 + \frac{2}{27}I_1^3 \end{aligned} \right.$$

Nota: a veces se emplea el término *presión*, p , como sinónimo de *tensión hidrostática*:

$$p = -\bar{\sigma} = -\frac{\sigma_{xx} + \sigma_{yy} + \sigma_{zz}}{3} = -\frac{\sigma_{ii}}{3}$$

3.1.4. Representación geométrica de Haig-Westergaard

(1/3)



3.1.4. Representación geométrica de Haig-Westergaard

(2/3)

El estado tensional asociado a Q puede representarse a través del vector \overrightarrow{OQ} , de componentes:

$$\overrightarrow{OQ} = (\sigma_1, \sigma_2, \sigma_3)^T$$

Este vector puede descomponerse en sus componentes *normal* y *paralela* al plano π :

$$\overrightarrow{OQ} = \overrightarrow{OP} + \overrightarrow{PQ}$$

Donde \overrightarrow{OP} es de la forma:

$$\overrightarrow{OP} = (\sigma_p, \sigma_p, \sigma_p)^T$$

Estableciendo la ortogonalidad entre \overrightarrow{PQ} y un vector \vec{u} , paralelo a la diagonal:

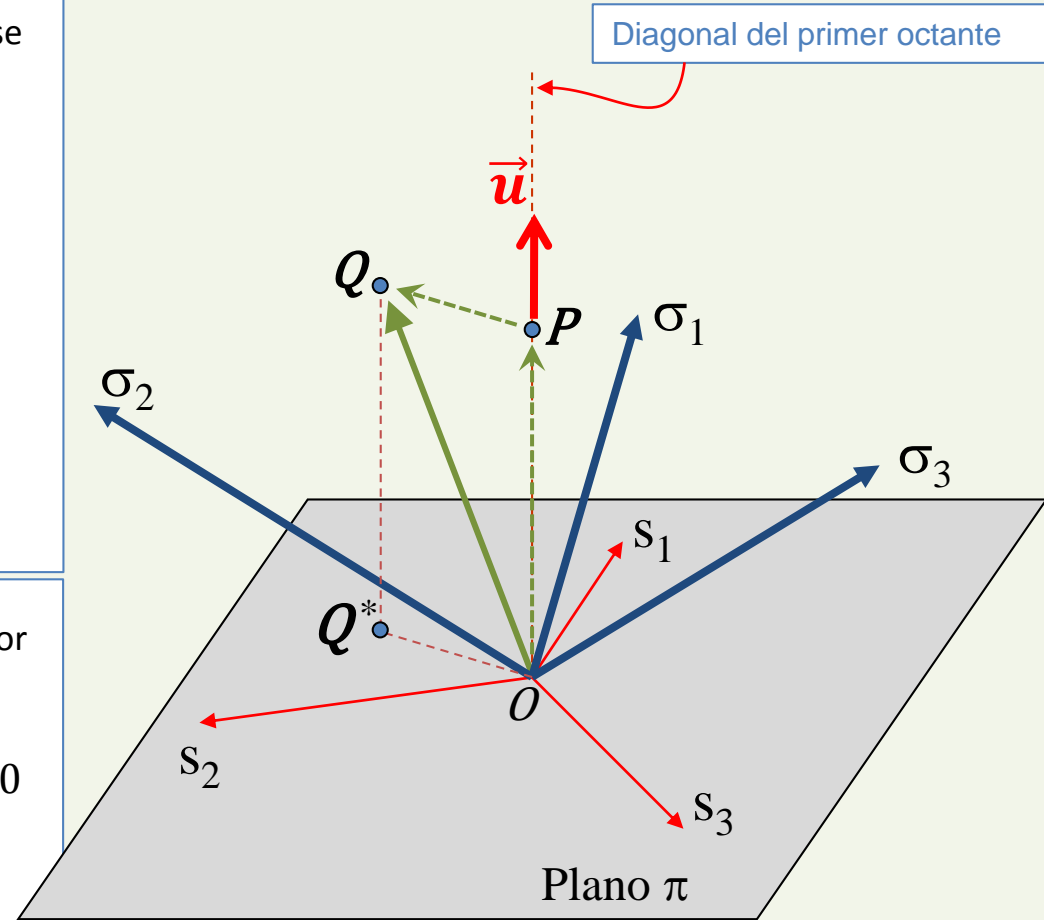
$$\overrightarrow{PQ} \cdot \vec{u} = (\sigma_1 - \sigma_p, \sigma_2 - \sigma_p, \sigma_3 - \sigma_p) \begin{Bmatrix} 1 \\ 1 \\ 1 \end{Bmatrix} = 0$$

Se obtiene:

$$\sigma_p = \frac{\sigma_1 + \sigma_2 + \sigma_3}{3} = \frac{I_1}{3} = \bar{\sigma}$$

Con lo anterior, se obtiene:

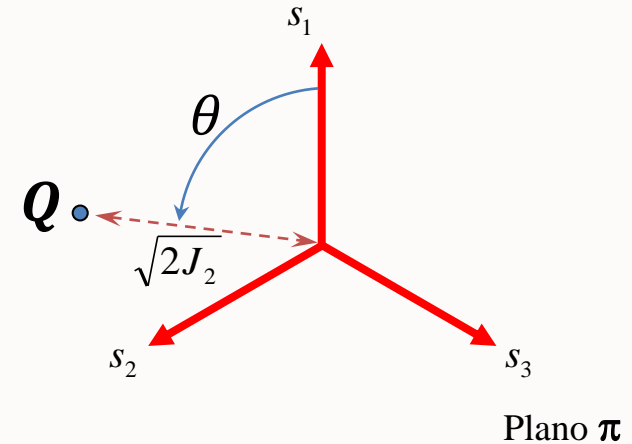
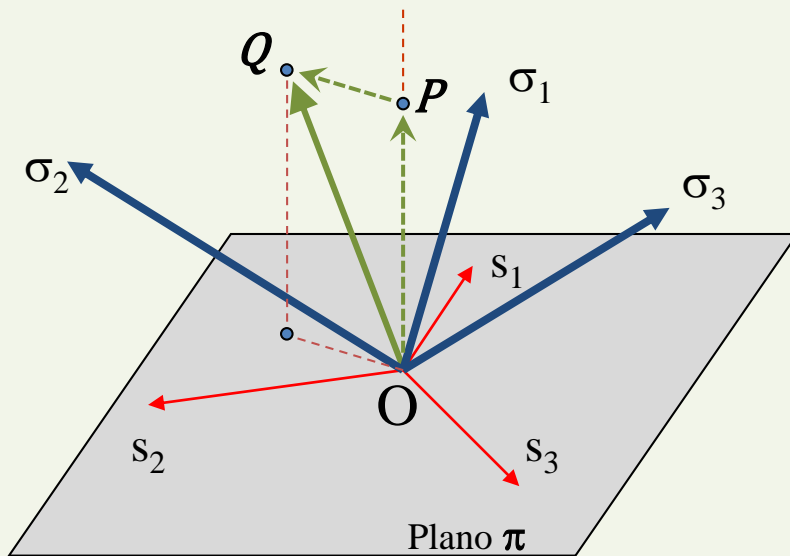
$$\overrightarrow{OP} = (\bar{\sigma}, \bar{\sigma}, \bar{\sigma})^T = \frac{1}{3} (I_1, I_1, I_1)^T \quad ; \quad \overrightarrow{PQ} = (\sigma_1 - \bar{\sigma}, \sigma_2 - \bar{\sigma}, \sigma_3 - \bar{\sigma})^T = (s_1, s_2, s_3)^T = \overrightarrow{OQ^*}$$



3.1.4. Representación geométrica de Haig-Westergaard

(3/3)

En ocasiones, es conveniente cambiar el **punto de vista**, para observar directamente hacia el plano π :



Ángulo de Lode θ

Se puede calcular de varias formas:

$$\cos(3\theta) = \frac{3\sqrt{3}}{2} \frac{J_3}{J_2^{3/2}}$$

O bien:

$$\cos(\theta) = \frac{\sqrt{3}}{2} \frac{s_1}{\sqrt{J_2}} = \frac{2s_1 - s_2 - s_3}{2\sqrt{3}J_2}$$

→ θ es un nuevo **invariante** del **tensor de tensiones !!!**

Magnitudes de las componentes de \overline{OQ} :

$$\|\overline{OP}\| = \sqrt{3} |\bar{\sigma}| = \frac{|I_1|}{\sqrt{3}} \rightarrow \text{proyección de } \overline{OQ} \text{ sobre la recta } \textit{perpendicular} \text{ al plano } \pi$$

$$\|\overline{PQ}\| = \sqrt{2J_2} \rightarrow \text{proyección de } \overline{OQ} \text{ sobre el plano } \pi$$

Tema 3

Plasticidad

3.1 CUESTIONES PREVIAS

3.2 CRITERIOS DE PLASTIFICACIÓN

3.3 CARACTERIZACIÓN DEL ENDURECIMIENTO POR DEFORMACIÓN

3.4 ECUACIONES DE LA PLASTICIDAD (TEORÍA INCREMENTAL Y TOTAL)

3.5 MÉTODOS NUMÉRICOS EN PLASTICIDAD

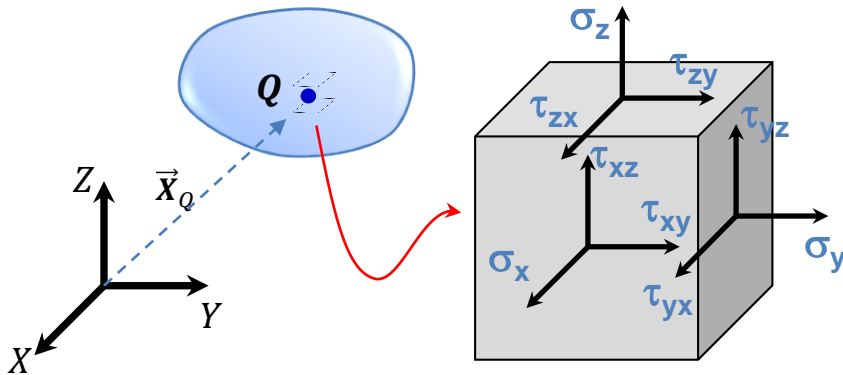
3.2.1. ¿Cómo definir el instante de inicio de la plastificación?

En un ensayo de **tracción uniaxial**, el criterio de plastificación es:

$$\sigma - \sigma_Y = 0$$

Si el estado tensional es **multiaxial**, debemos **generalizar** el concepto de **límite de elasticidad**.

Sea un sólido sometido en un punto **Q** a un estado tensional general (posiblemente multiaxial):



Función de Plastificación:

Es una función escalar que depende de las componentes del tensor de tensiones

$$f = f(\sigma_x, \sigma_y, \sigma_z, \tau_{xy}, \tau_{xz}, \tau_{yz})$$

Criterio de Plastificación:

- En **régimen elástico**, la función de plastificación es **estrictamente negativa**

$$f(\sigma_x, \sigma_y, \sigma_z, \tau_{xy}, \tau_{xz}, \tau_{yz}) < 0$$

- En el **límite del régimen elástico**, la función de plastificación **se anula**.

$$f(\sigma_x, \sigma_y, \sigma_z, \tau_{xy}, \tau_{xz}, \tau_{yz}) = 0$$

3.2.2. Hipótesis básicas.-

- No se considera el efecto del *tiempo*.
- No se incluye el efecto de la *temperatura*.
- No se consideran los efectos producidos por la *falta de homogeneidad* del material a escala microscópica:

⇒ El *material real* se idealiza como un *medio continuo homogéneo*.

3.2.3. Hipótesis adicionales aplicables en el caso de materiales metálicos

(1/13)

Hipótesis 1ª.- El material es isótropo

(Isotropía: ausencia de “direcciones predominantes”)

Hipótesis 2ª.- La plastificación es independiente de la componente hidrostática de la tensión

(Bridgman, principios S.XX)

Hipótesis 3ª.- El comportamiento a tracción es el mismo que a compresión

(No se considerará el efecto Bauschinger)

A continuación estudiaremos las **consecuencias** de cada una de estas **hipótesis**

3.2.3. Hipótesis adicionales aplicables en el caso de materiales metálicos

(2/13)

Hipótesis 1ª.- El material es isótropo

(Isotropía: ausencia de direcciones “predominantes”)

Observación: en general, las 6 componentes independientes del tensor de tensiones proporcionan información sobre:

A) Tres cantidades invariantes (usualmente, los autovalores de $\boldsymbol{\sigma}$).

B) Tres vectores propios (las direcciones principales).

$$\boldsymbol{\sigma} = \begin{bmatrix} \sigma_{xx} & \tau_{xy} & \tau_{xz} \\ & \sigma_{yy} & \tau_{yz} \\ \text{sim.} & & \sigma_{zz} \end{bmatrix}$$

En un **material arbitrario**, posiblemente **no isótropo**, un criterio de plastificación debería depender de estos **seis elementos** contenidos en **(A)** y en **(B)**, o bien, de todas las seis componentes de $\boldsymbol{\sigma}$, tal como en la expresión anterior:

$$f(\sigma_{xx}, \sigma_{yy}, \sigma_{zz}, \tau_{xy}, \tau_{xz}, \tau_{yz}) \leq 0$$

Sin embargo, en un **materia isótropo**, las propiedades mecánicas **no dependen de la dirección** en que se midan.

∴ un **criterio de plastificación** debería poder expresarse **únicamente** en función de **tres cantidades invariantes** asociadas al **tensor de tensiones**, sin necesidad de considerar la información aportada por las **direcciones principales**.

3.2.3. Hipótesis adicionales aplicables en el caso de materiales metálicos

(3/13)

Hipótesis 1ª.- El material es isótropo

(Isotropía: ausencia de direcciones “predominantes”)

Como consecuencia de lo anterior:

un **criterio de plastificación** para un **material isótropo** debería expresarse en función de **cantidades invariantes** asociadas al **tensor de tensiones** y **no** en función de las **componentes** del tensor en un **sistema de referencia particular**.

(**Invariantes**: son magnitudes independientes de la orientación del sistema de referencia que se escoja)



Primera alternativa: usar como “cantidades invariantes” a las **tensiones principales**.

La **función de plastificación** depende de **las tensiones principales**, de modo que el **criterio de plastificación** se expresa como:

$$f(\sigma_1, \sigma_2, \sigma_3) = 0$$

Segunda alternativa: usar como “cantidades invariantes” a los **invariantes** del tensor de tensiones.

La **función de plastificación** depende de los **invariantes** del tensor de tensiones, de modo que el **criterio de plastificación** se expresa como:

$$f(I_1, I_2, I_3) = 0$$

3.2.3. Hipótesis adicionales aplicables en el caso de materiales metálicos

(4/13)

Hipótesis 1ª.- El material es isótropo

(Isotropía: ausencia de direcciones “predominantes”)

CONSECUENCIA DE LA ISOTROPÍA: Si consideramos, por ejemplo, la primera alternativa $f = f(\sigma_1, \sigma_2, \sigma_3)$, entonces:

¿Qué representa la ecuación $f(\sigma_1, \sigma_2, \sigma_3) = 0$ que define al criterio de plastificación?

Es evidente que, si $\mathbf{Q} = (\sigma_1, \sigma_2, \sigma_3)$ es un punto genérico del espacio de tensiones, entonces la condición (o criterio)

$$f(\sigma_1, \sigma_2, \sigma_3) = f(\mathbf{Q}) = 0$$

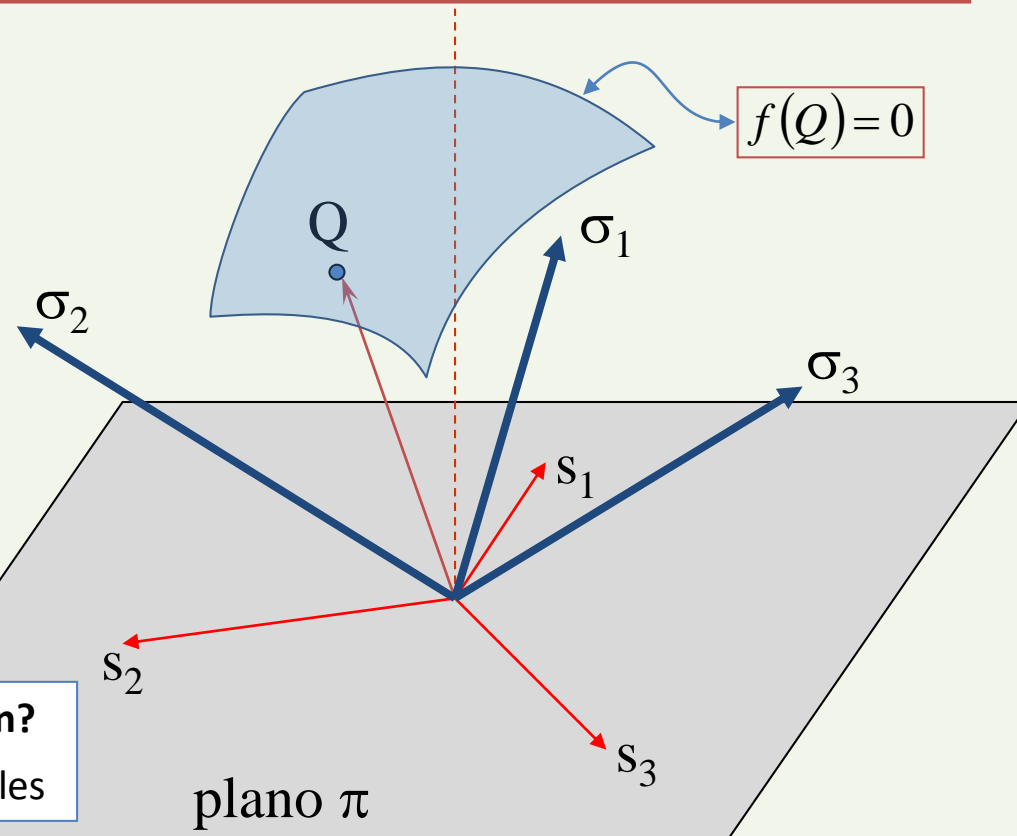
define una **superficie** en el **espacio de las tensiones principales**.

Superficie de plastificación:

“Es el lugar geométrico del **espacio** de las **tensiones principales** donde **se satisface** el criterio de plastificación”

¿Qué forma tiene la Superficie de plastificación?

Esto depende de las otras dos hipótesis adicionales

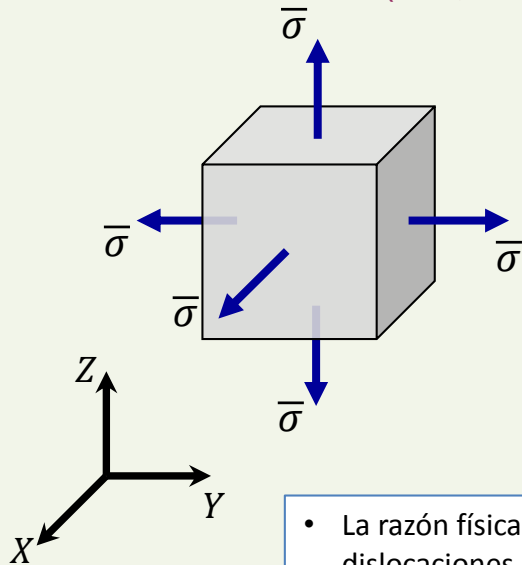


3.2.3. Hipótesis adicionales aplicables en el caso de materiales metálicos

(5/13)

Hipótesis 2ª.- La plastificación es independiente de la componente hidrostática de la tensión

(Bridgman, principios S.XX)



$$\sigma_{ij} = \underbrace{\begin{bmatrix} \bar{\sigma} & 0 & 0 \\ 0 & \bar{\sigma} & 0 \\ 0 & 0 & \bar{\sigma} \end{bmatrix}}_{\sigma_{ij}^h} + \begin{bmatrix} \sigma_{xx} - \bar{\sigma} & \tau_{xy} & \tau_{xz} \\ \tau_{yx} & \sigma_{yy} - \bar{\sigma} & \tau_{yz} \\ \tau_{zx} & \tau_{zy} & \sigma_{zz} - \bar{\sigma} \end{bmatrix} = S_{ij}$$

NO produce plastificación, ni cambio permanente de volumen.

- La razón física que sustenta esta hipótesis es que la tensión hidrostática **no induce** movimiento de dislocaciones ni procesos de maclado.
- Por lo tanto, esta hipótesis es aplicable en **metales** u otros materiales en los que la naturaleza de la deformación plástica sea **deslizamiento** o **maclado**.
- Esta hipótesis **es aplicable** en una **cantidad importante de materiales de uso ingenieril**, aunque existen, ciertamente, materiales en los que esta hipótesis **no es razonable** (rocas o ciertos materiales porosos).

Si se adopta esta hipótesis, entonces:

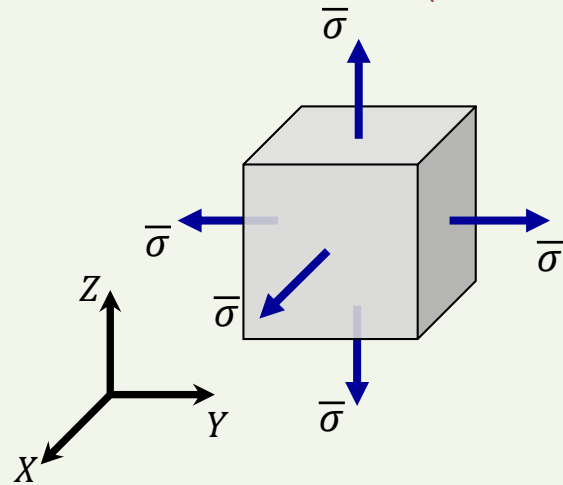
El **criterio de plastificación** debe poder expresarse en función de **cantidades invariantes** asociadas al **tensor desviador** S_{ij} ; **no** al tensor hidrostático σ_{ij}^h

3.2.3. Hipótesis adicionales aplicables en el caso de materiales metálicos

(6/13)

Hipótesis 2ª.- La plastificación es independiente de la componente hidrostática de la tensión

(Bridgman, principios S.XX)



$$\sigma_{ij} = \underbrace{\begin{bmatrix} \bar{\sigma} & 0 & 0 \\ 0 & \bar{\sigma} & 0 \\ 0 & 0 & \bar{\sigma} \end{bmatrix}}_{\text{NO produce plastificación, ni cambio permanente de volumen.}} + \begin{bmatrix} \sigma_{xx} - \bar{\sigma} & \tau_{xy} & \tau_{xz} \\ \tau_{yx} & \sigma_{yy} - \bar{\sigma} & \tau_{yz} \\ \tau_{zx} & \tau_{zy} & \sigma_{zz} - \bar{\sigma} \end{bmatrix}$$

Primera alternativa: usar como “cantidades invariantes” a las *tensiones principales* del *tensor desviador*.

La *función de plastificación* depende de las *tensiones desviadoras principales*, de modo que el *criterio de plastificación* se expresa como:

$$f(s_1, s_2, s_3) = 0$$

Segunda alternativa: usar como “cantidades invariantes” a los *invariantes* del *tensor desviador*.

La *función de plastificación* depende de los *invariantes* del *tensor desviador*, de modo que el *criterio de plastificación* se expresa como:

Recordatorio: $J_1 = 0$

$$f(J_2, J_3) = 0$$

Además: En el caso de *muchos metales*, el invariante J_3 tiene *muy poca influencia* en la función de plastificación.

3.2.3. Hipótesis adicionales aplicables en el caso de materiales metálicos

(7/13)

Hipótesis 2ª.- La plastificación es independiente de la componente hidrostática de la tensión

(Bridgman, principios S.XX)

Más aun: Si se recuerda la definición del **Ángulo de Lode** (ver pág. [12](#)), resulta que:

para un **valor fijo** de J_2 , se tiene que:

la relación entre J_3 y $\cos(3\theta)$ es de **proporcionalidad**.

$$\cos(3\theta) = \frac{3\sqrt{3}}{2} \frac{J_3}{J_2^{3/2}}$$

Por lo tanto:

El criterio de plastificación en la forma

$$f(J_2, J_3) = 0$$

Puede reformularse como:

$$f(J_2, \cos(3\theta)) = 0$$

Veremos que esta forma, aunque es equivalente, es mucho más conveniente !!!

3.2.3. Hipótesis adicionales aplicables en el caso de materiales metálicos

(8/13)

Hipótesis 2ª.- La plastificación es independiente de la componente hidrostática de la tensión

CONSECUENCIAS de esta hipótesis en la forma de la **superficie de plastificación**

Sean **P** y **Q** puntos representativos de **dos estados tensionales** que **difieren exclusivamente** en su componente **hidrostática**.

→ Esto es, ambos puntos tienen igual J_2 e igual J_3 .

Necesariamente, **P** y **Q** están en la **misma recta** perpendicular al plano π (pues tienen igual ángulo θ)

Como hemos admitido que:

$$f = f(J_2, \cos(3\theta))$$

Y como, además, se tiene que:

$$J_2(\mathbf{P}) = J_2(\mathbf{Q}) \quad ; \quad \theta(\mathbf{P}) = \theta(\mathbf{Q})$$

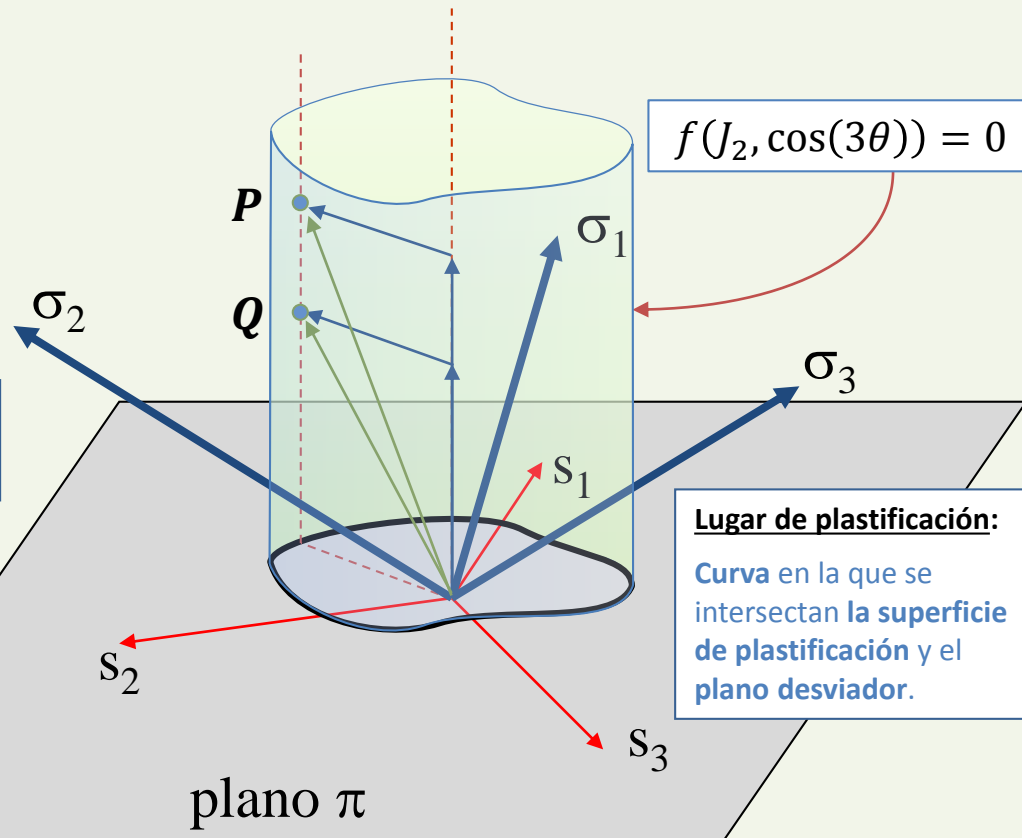
Resulta entonces que:

$$f(\mathbf{P}) = 0 \quad \Rightarrow \quad f(\mathbf{Q}) = 0$$

∴ Si uno de los puntos satisface el criterio, el otro también



La superficie de plastificación $f(J_2, \cos(3\theta)) = 0$ es una **superficie cilíndrica recta**, cuyo eje es perpendicular al plano π



3.2.3. Hipótesis adicionales aplicables en el caso de materiales metálicos

(9/13)

Hipótesis 2ª.- La plastificación es independiente de la componente hidrostática de la tensión

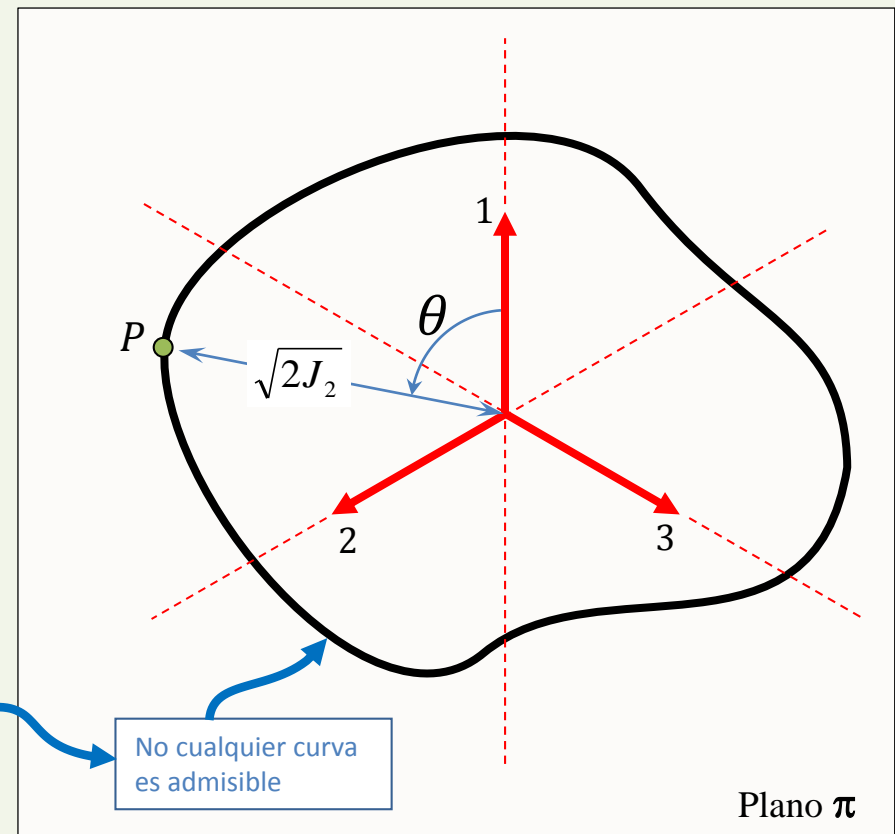
CONSECUENCIAS de esta hipótesis en la forma de la **superficie de plastificación**

Al cambiar el punto de vista, se aprecia que el **Lugar De Plastificación** contiene **toda la información relevante** sobre la **Superficie de Plastificación**

Si P es un estado tensional que **satisface el criterio de plastificación** $f(J_2, \cos(3\theta)) = 0$, entonces

P se sitúa **en el lugar de plastificación.**

¿ Qué formas puede adoptar el **Lugar de Plastificación** ?



3.2.3. Hipótesis adicionales aplicables en el caso de materiales metálicos

(10/13)

Hipótesis 2ª.- La plastificación es independiente de la componente hidrostática de la tensión

CONSECUENCIAS de esta hipótesis en la forma de la **superficie de plastificación**

¿ Qué formas puede adoptar el Lugar de Plastificación ?

Evidencia experimental y consideraciones termodinámicas sugieren que esta **curva** debe ser:

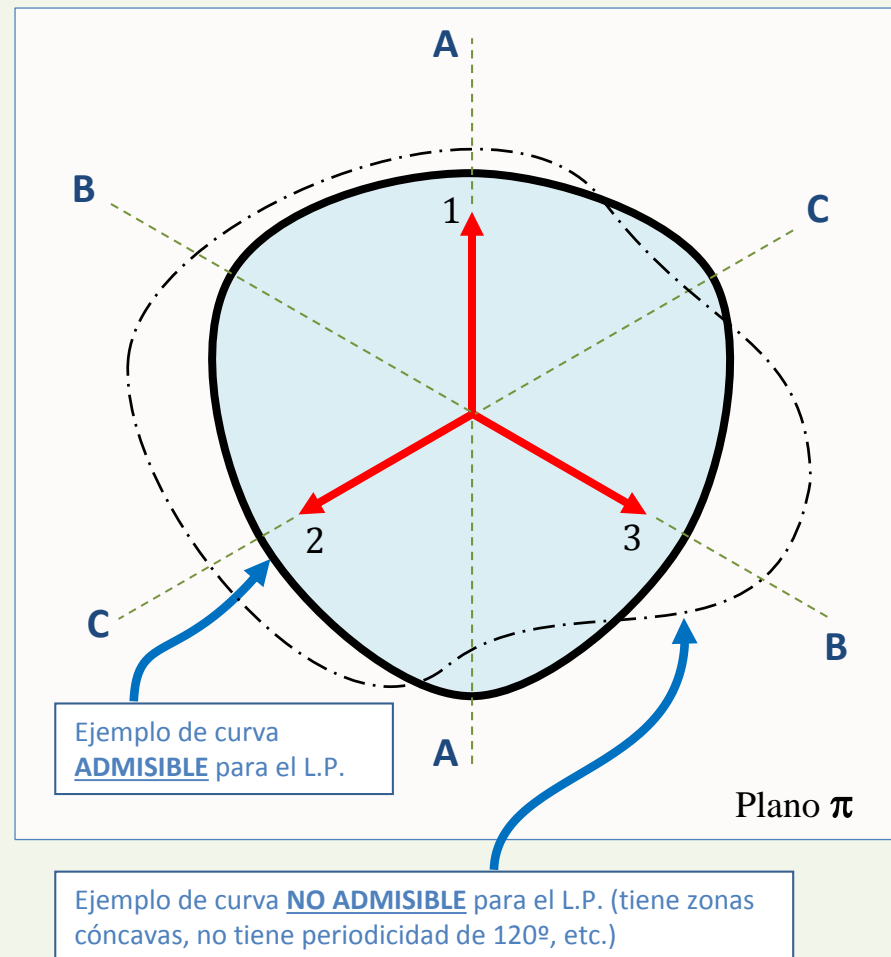
- Cerrada
- Convexa

Además, puede demostrarse que las hipótesis de:

$$\text{Isotropía} + f = f(J_2, \cos(3\theta)) ,$$

tienen como resultado lo siguiente:

- La **curva** es **simétrica** con respecto a los ejes **AA**, **BB** y **CC** (debido a la **paridad** de la función **coseno**)
- La **curva** tiene **periodicidad** de 120° (que es el **período** de la función $\text{COS}(3\theta)$)



3.2.3. Hipótesis adicionales aplicables en el caso de materiales metálicos

(11/13)

Hipótesis 3ª.- El comportamiento a tracción es el mismo que a compresión

El límite elástico no cambia al cambiar de signo las tensiones aplicadas.

∴ La función de plastificación **no debe cambiar** si todas las componentes del tensor de tensiones cambian de signo

$$\Rightarrow f(\sigma_{ij}) = f(-\sigma_{ij})$$

∴ f debe ser función **par** de s_1, s_2 y s_3 .

Primera alternativa:

Si se escoge $f(s_1, s_2, s_3) = 0$, la **función de plastificación** debe escogerse de modo que garantice paridad:

$$f(s_1, s_2, s_3) = f(-s_1, -s_2, -s_3)$$

Segunda alternativa:

Si se escoge $f(J_2, \cos(3\theta)) = 0$, entonces:

¿Cómo debe escogerse la función $f = f(J_2, \cos(3\theta))$ para garantizar la independencia del signo de la tensión?

3.2.3. Hipótesis adicionales aplicables en el caso de materiales metálicos

(12/13)

Hipótesis 3ª.- El comportamiento a tracción es el mismo que a compresión

Sean: $\mathbf{P} = (s_1, s_2, s_3)$; $\mathbf{Q} = (-s_1, -s_2, -s_3)$

Es directo verificar que:

$$J_2(\mathbf{P}) = \frac{1}{2}(s_1^2 + s_2^2 + s_3^2) = J_2(\mathbf{Q})$$

$$J_3(\mathbf{P}) = s_1 s_2 s_3 = -J_3(\mathbf{Q})$$

Por lo tanto, según la definición del Ángulo de Lode, se tiene:

$$\cos(3\theta) = -\cos(3\theta^*)$$

Si el material plastifica en \mathbf{P} , entonces también plastifica en \mathbf{Q} , es decir:

$$f(\mathbf{P}) = 0 \Rightarrow f(\mathbf{Q}) = 0$$

Por lo tanto:

La función de plastificación $f = f(J_2, \cos(3\theta))$ debe escogerse como función **par de su segundo argumento**, de modo que:

$$f(J_2, \cos(3\theta)) = f(J_2, -\cos(3\theta))$$

- **Identidad trigonométrica:** $-\cos(3\theta) = \cos(\pi - 3\theta) = \cos(\pi - 3\theta + 2\pi) = \cos(3[\pi - \theta])$
- **Cambio de variables:** $\theta = \frac{\pi}{2} - \alpha \Rightarrow \cos(3\theta) = \cos\left(3\left[\frac{\pi}{2} - \alpha\right]\right)$ y $-\cos(3\theta) = \cos\left(3\left[\frac{\pi}{2} + \alpha\right]\right)$

Finalmente, sustituyendo en la condición de paridad:

$$f\left(J_2, \cos\left(3\left[\frac{\pi}{2} - \alpha\right]\right)\right) = f\left(J_2, \cos\left(3\left[\frac{\pi}{2} + \alpha\right]\right)\right)$$

iii La función de plastificación debe ser **SIMÉTRICA** con respecto a $\theta = \frac{\pi}{2}$!!!

3.2.3. Hipótesis adicionales aplicables en el caso de materiales metálicos

(13/13)

Todas las consecuencias de las Hipótesis 1ª, Hipótesis 2ª y Hipótesis 3ª

¿ Qué formas puede adoptar el Lugar de Plastificación ?

Evidencia experimental y consideraciones termodinámicas sugieren que esta curva debe ser:

- Cerrada
- Convexa

Las hipótesis 1 y 2, de:

$$\text{Isotropía} + f = f(J_2, \cos(3\theta)) ,$$

tienen como resultado lo siguiente:

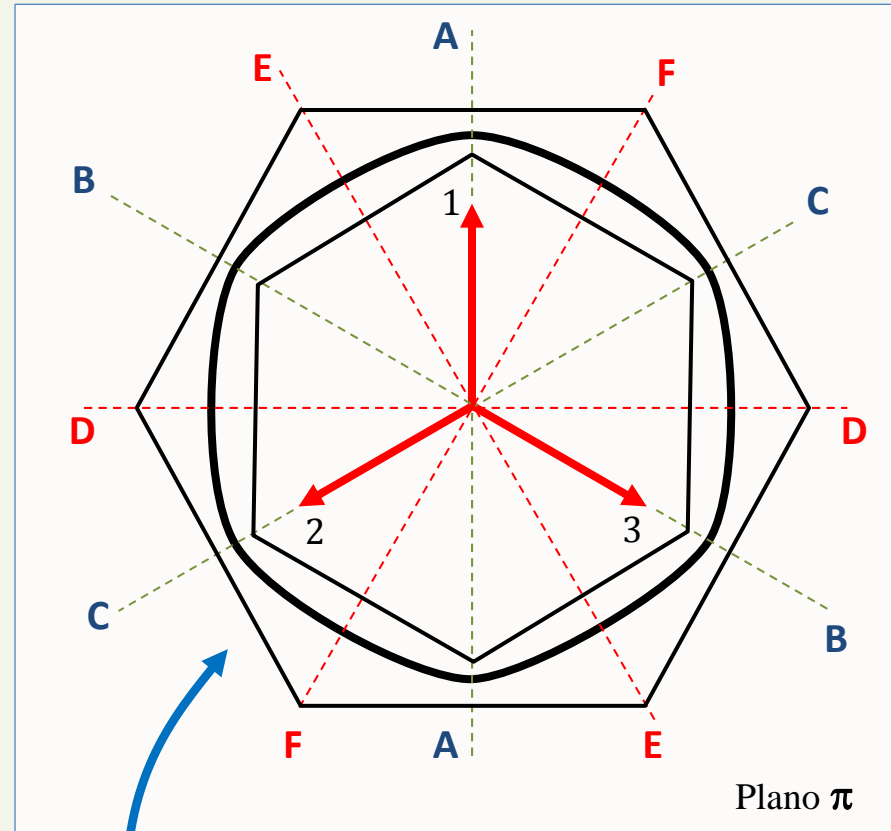
- (1) La **curva** es **simétrica** con respecto a los ejes AA, BB y CC (debido a la **paridad** de la función coseno)
- (2) La **curva** tiene **periodicidad** de 120° (que es el **período** de la función $\cos(3\theta)$)

La hipótesis 3, de:

Límite en tracción = Límite en compresión ,

tiene como resultado lo siguiente:

- (3) La **curva** es **simétrica** con respecto al eje **DD** (y a los ejes **EE** y **FF**, debido a la **periodicidad** de 120°)



Ejemplos de 3 curvas **ADMISIBLES** para el L.P. :

Las 3 curvas satisfacen las 3 hipótesis !!!

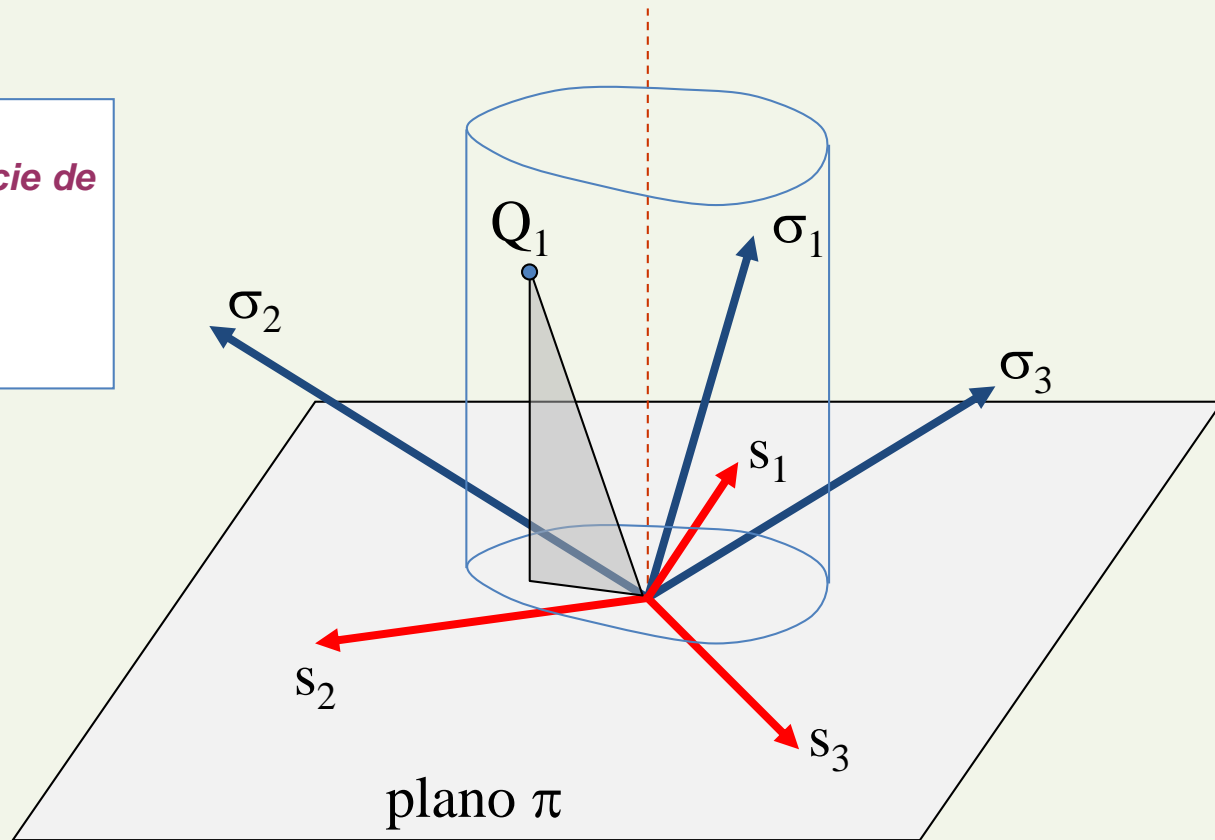
3.2.4. Discusión

(1/4)

Consideremos una sollicitación mecánica **PROGRESIVAMENTE CRECIENTE**

Q_1 : el material no ha plastificado.
 Q_1 está **dentro** de la **superficie de plasticación**

$$f(J_2) < 0 \quad \text{para} \quad J_2 = J_2(Q_1)$$



3.2.4. Discusión

(2/4)

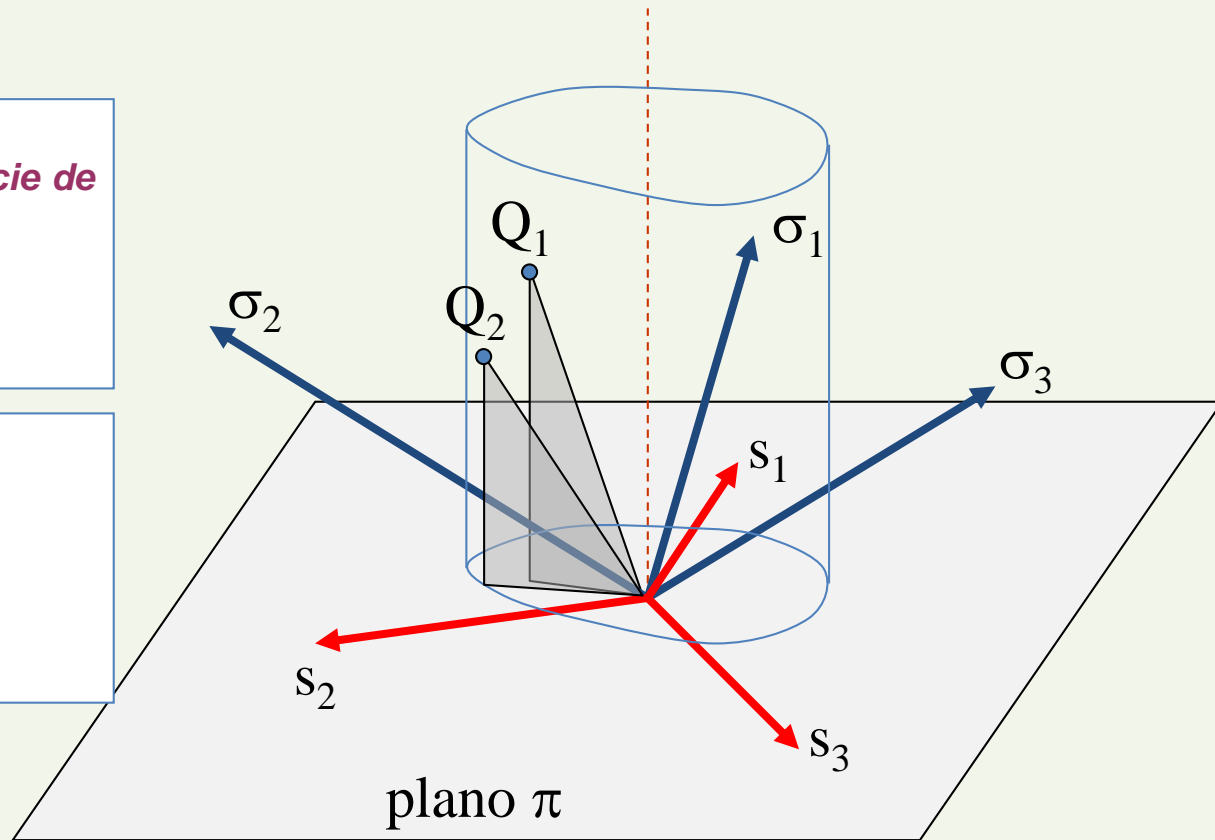
Consideremos una sollicitación mecánica **PROGRESIVAMENTE CRECIENTE**

Q_1 : el material no ha plastificado.
 Q_1 está **dentro** de la **superficie de plasticación**

$$f(J_2) < 0 \quad \text{para} \quad J_2 = J_2(Q_1)$$

Q_2 : el material ha plastificado.
 Q_2 está **en** la **superficie de plasticación**

$$f(J_2) = 0 \quad \text{para} \quad J_2 = J_2(Q_2)$$



3.2.4. Discusión

(3/4)

Consideremos una sollicitación mecánica **PROGRESIVAMENTE CRECIENTE**

Q_1 : el material no ha plastificado.
 Q_1 está **dentro** de la **superficie de plasticación**

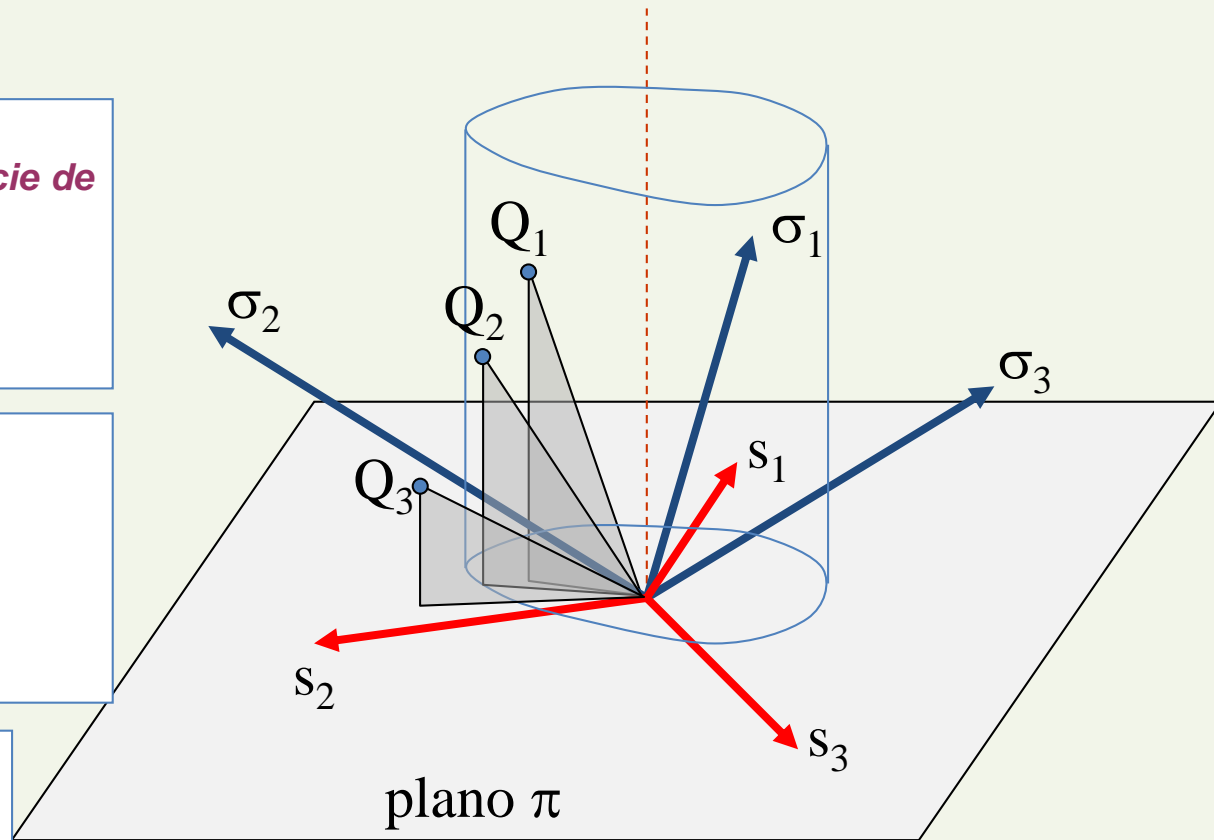
$$f(J_2) < 0 \quad \text{para} \quad J_2 = J_2(Q_1)$$

Q_2 : el material ha plastificado.
 Q_2 está **en** la **superficie de plasticación**

$$f(J_2) = 0 \quad \text{para} \quad J_2 = J_2(Q_2)$$

Q_3 : ¿ es posible ?

$$f(J_2) > 0 \quad \text{para} \quad J_2 = J_2(Q_3)$$



3.2.4. Discusión

(4/4)

Consideremos una sollicitación mecánica **PROGRESIVAMENTE CRECIENTE**

Q_1 : el material no ha plastificado.
 Q_1 está **dentro** de la **superficie de plasticación**

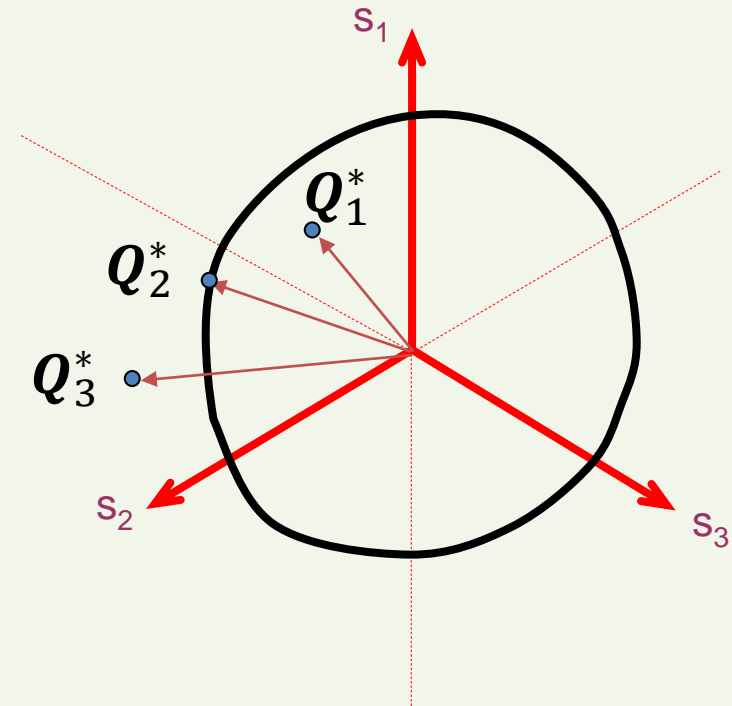
$$f(J_2) < 0 \quad \text{para} \quad J_2 = J_2(Q_1)$$

Q_2 : el material ha plastificado.
 Q_1 está **en** la **superficie de plasticación**

$$f(J_2) = 0 \quad \text{para} \quad J_2 = J_2(Q_2)$$

Q_3 : ¿ es posible ?

$$f(J_2) > 0 \quad \text{para} \quad J_2 = J_2(Q_3)$$



3.2.5. Criterio de plastificación de Tresca-Guest

(1/2)

Criterio:

“La plastificación se produce cuando la **tensión tangencial máxima** alcanza un **valor crítico**”

$$\tau_{m\acute{a}x} = (\sigma_1 - \sigma_3) / 2 = \tau_{cr\acute{i}tica}$$

siendo $\sigma_1 \geq \sigma_2 \geq \sigma_3$



En un **ensayo** de **tracción uniaxial** sabemos que:

$$\sigma_2 = \sigma_3 = 0 \quad \tau_{max} = \frac{\sigma_1}{2}$$

y, si se alcanza la plastificación,

$$\sigma_1 = \sigma_Y \quad \text{por lo que} \quad \tau_{max} = \frac{\sigma_Y}{2}$$

Si aplicamos el criterio de Tresca

$$\tau_{m\acute{a}x} = \frac{\sigma_1 - \sigma_3}{2} = \frac{\sigma_Y - 0}{2} = \tau_{cr\acute{i}tica}$$

de lo que se deduce

$$\tau_{cr\acute{i}tica} = \frac{\sigma_Y}{2}$$

Reformulación del Criterio de Tresca:

“En una **situación tridimensional general**, la plastificación se produce cuando la **tensión tangencial máxima** alcanza un valor **igual** al que se alcanza en un ensayo de **tracción uniaxial** en el instante en el que **comienza** la plastificación”

3.2.5. Criterio de plasticificación de Tresca-Guest

(2/2)

Función de plasticificación del Criterio de Tresca:

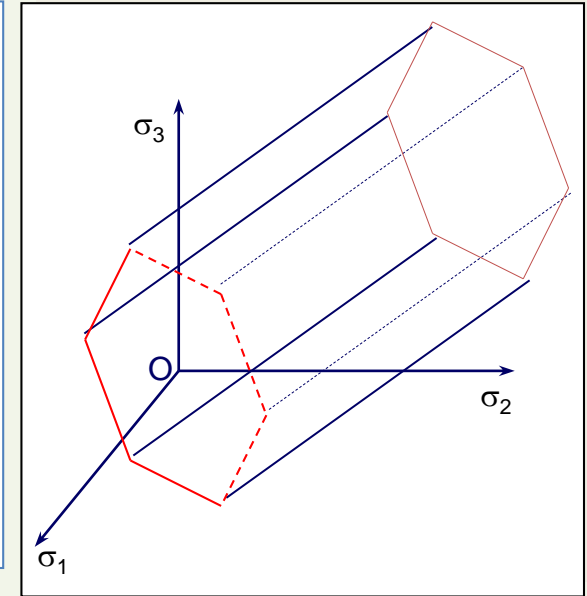
En caso de que las tensiones principales no estén “ordenadas” de mayor a menor, se puede escribir como:

$$f(s_1, s_2, s_3) = \max\{|s_1 - s_2|, |s_1 - s_3|, |s_2 - s_3|\} - \sigma_Y$$

Criterio de Tresca:

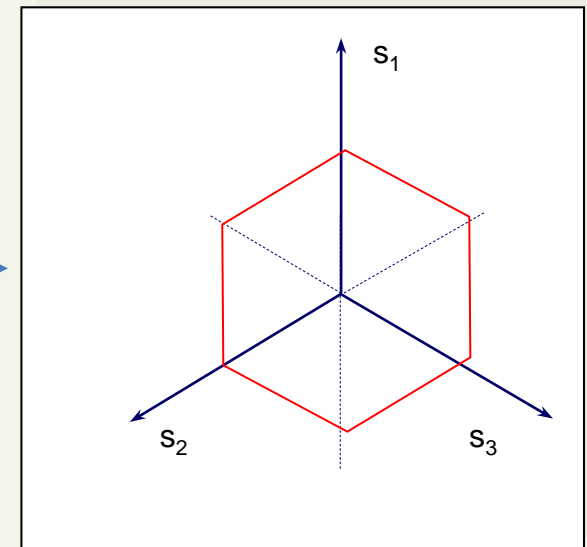
$f(s_1, s_2, s_3) < 0 \Rightarrow$ Comportamiento elástico

$f(s_1, s_2, s_3) = 0 \Rightarrow$ Se satisface criterio de plasticificación



La **superficie de plasticificación** es una superficie **prismática hexagonal** cuyo eje es la bisectriz del espacio de las tensiones principales

El **lugar de plasticificación** es un **hexágono** cuyo centro coincide con el eje de coordenadas y cuyos radios coinciden con los ejes o con las diagonales



3.2.6. Criterio de Von Mises-Hencky-Nadai

(1/5)



¿Qué es la energía de distorsión?

Es la energía consumida para obtener un **cambio de forma** de un elemento de volumen, **sin cambio** en su **volumen**.

$$U^d = U^T - U^V$$

Energía de distorsión

Energía necesaria para producir un **cambio de volumen** sin cambio de forma.

Energía total: es el **trabajo total** suministrado por las fuerzas externas.

Criterio:

“La plastificación se produce cuando la **energía de distorsión** alcanza un **valor crítico**”

$$U^d = U_{crítica}^d$$

3.2.6. Criterio de Von Mises-Hencky-Nadai

(2/5)

- Cambio de volumen:

$$\varepsilon_2 = \frac{\sigma_2}{E} - \frac{\nu(\sigma_1 + \sigma_3)}{E}$$

$$\frac{\Delta V}{V_0} = \frac{(1 + \varepsilon_1)(1 + \varepsilon_2)(1 + \varepsilon_3) - 1}{1}$$

$$\varepsilon_1 = \frac{\sigma_1}{E} - \frac{\nu(\sigma_2 + \sigma_3)}{E}$$

$$\varepsilon_3 = \frac{\sigma_3}{E} - \frac{\nu(\sigma_1 + \sigma_2)}{E}$$

$$\frac{\Delta V}{V_0} = 1 + \varepsilon_1 + \varepsilon_2 + \varepsilon_3 + \varepsilon_1\varepsilon_2 + \varepsilon_1\varepsilon_3 + \varepsilon_2\varepsilon_3 + \varepsilon_1\varepsilon_2\varepsilon_3 - 1 \approx \varepsilon_1 + \varepsilon_2 + \varepsilon_3$$

$$\frac{\Delta V}{V_0} = \frac{(\sigma_1 + \sigma_2 + \sigma_3)(1 - 2\nu)}{E} = \frac{(\sigma_1 + \sigma_2 + \sigma_3)3(1 - 2\nu)}{3E} = \frac{3\bar{\sigma}(1 - 2\nu)}{E}$$

- Energía consumida en el cambio de volumen, U^V :

$$U^V = \frac{1}{2} \bar{\sigma} \frac{\Delta V}{V_0} = \frac{3}{2E} \bar{\sigma}^2 (1 - 2\nu) = \frac{1}{2E} (1 - 2\nu) (\sigma_1^2 + \sigma_2^2 + \sigma_3^2 + 2\sigma_1\sigma_2 + 2\sigma_1\sigma_3 + 2\sigma_2\sigma_3)$$

- Energía total, U^T

$$U^T = \frac{1}{2} (\sigma_1\varepsilon_1 + \sigma_2\varepsilon_2 + \sigma_3\varepsilon_3) = \frac{1}{2E} (\sigma_1^2 + \sigma_2^2 + \sigma_3^2) (1 - 2\nu)$$

- Energía de distorsión:

$$U^d = U^T - U^V = \frac{1 + \nu}{3E} \left[\frac{(\sigma_1 - \sigma_2)^2 + (\sigma_1 - \sigma_3)^2 + (\sigma_2 - \sigma_3)^2}{2} \right]$$

$$= \frac{2(1 + \nu)}{3E} \left[\frac{(\sigma_1 - \sigma_2)^2 + (\sigma_1 - \sigma_3)^2 + (\sigma_2 - \sigma_3)^2}{4} \right] = \frac{1}{2G} J_2$$

$$\therefore U^d = \frac{1}{2G} J_2$$

3.2.6. Criterio de Von Mises-Hencky-Nadai

(3/5)

Criterio en términos del 2º invariante del tensor desviador:

“La plastificación se produce cuando la **energía de distorsión** alcanza un **valor crítico**”

$$U^d = \frac{1}{2G} J_2 = U_{crítica}^d$$

En un ensayo de **tracción uniaxial** la **energía de distorsión** justo cuando se alcanza la plastificación es

$$U^d = \frac{2(1+\nu)}{3E} \left[\frac{(\sigma_1 - 0)^2 + (\sigma_1 - 0)^2 + (0 - 0)^2}{4} \right] = \frac{1+\nu}{3E} \sigma_1^2 = \frac{1}{6G} \sigma_Y^2$$

con lo cual $\frac{1}{6G} \sigma_Y^2 = U_{crítica}^d$

Reformulación del Criterio de von Mises:

“En una situación **tridimensional general**, la **plastificación** se produce cuando la **energía de distorsión** alcanza un valor **igual** al que alcanza en un **ensayo de tracción uniaxial** en el instante en el que comienza la plastificación”

$$\boxed{U_{crítica}^d = \frac{1}{2G} \cdot J_2 = \frac{1}{6G} \sigma_Y^2} \longrightarrow \boxed{J_2 = \frac{\sigma_Y^2}{3}}$$

Al criterio de plastificación de **von Mises** se le denomina también “**criterio J_2** ”

3.2.6. Criterio de Von Mises-Hencky-Nadai

(4/5)

En lugar de expresar el **criterio de von Mises** en términos de J_2 , cuyas unidades son **[MPa]²**, es más práctico expresarlo en términos de una **“tensión equivalente”** en **MPa**.

$$J_2 = \frac{1}{6} [(\sigma_1 - \sigma_2)^2 + (\sigma_2 - \sigma_3)^2 + (\sigma_3 - \sigma_1)^2] = \frac{\sigma_Y^2}{3} \quad \Rightarrow \quad \sqrt{\frac{1}{2} [(\sigma_1 - \sigma_2)^2 + (\sigma_2 - \sigma_3)^2 + (\sigma_3 - \sigma_1)^2]} = \sigma_Y$$

Se define la **“Tensión Equivalente de von Mises”** como:

$$q = \sqrt{\frac{1}{2} [(\sigma_1 - \sigma_2)^2 + (\sigma_2 - \sigma_3)^2 + (\sigma_3 - \sigma_1)^2]} = \sqrt{3J_2}$$

El **criterio de von Mises** se reescribe en términos de **tensiones** como:

“En una situación **tridimensional general**, la plastificación se produce cuando la **Tensión Equivalente de von Mises** alcanza un valor **igual al límite de elasticidad** del material, medido en un ensayo de tracción uniaxial”

Es decir, el material plastifica cuando:

$$q = \sigma_Y$$

3.2.6. Criterio de Von Mises-Hencky-Nadai

(5/5)

Función de plastificación del Criterio de Von Mises:

$$f = f(J_2) = \sqrt{3}J_2 - \sigma_Y \quad \text{o bien} \quad f = f(q) = q - \sigma_Y$$

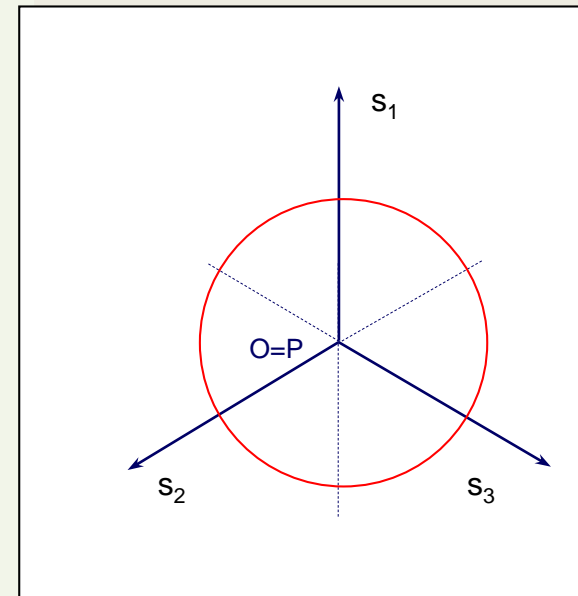
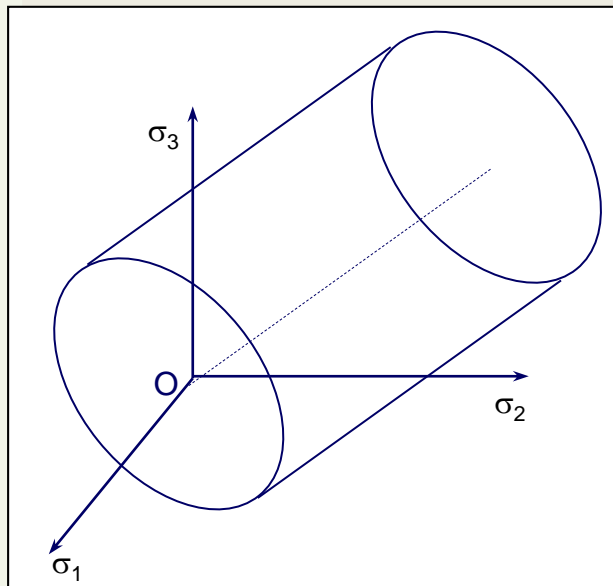
Criterio de von Mises:

$f < 0 \Rightarrow$ Comportamiento elástico

$f = 0 \Rightarrow$ Se satisface criterio de plastificación

La superficie de plastificación es de sección circular cuyo eje es la bisectriz del espacio de las tensiones principales

El lugar de plastificación es una circunferencia

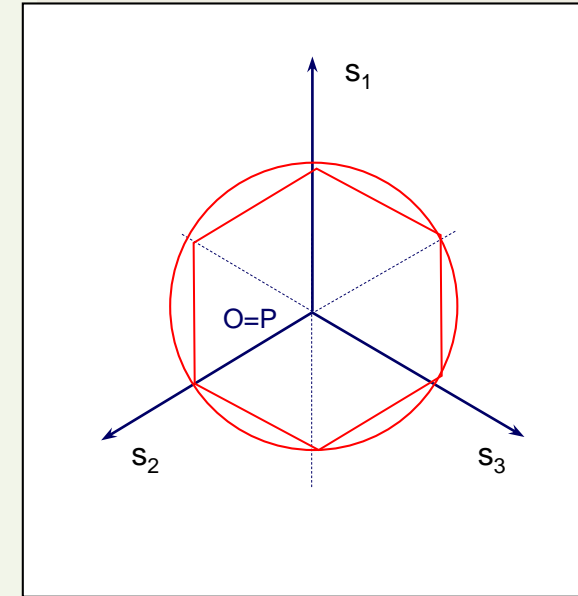


3.2.7 Comparación: Criterio de Tresca vs criterio de Von Mises

(1/3)

Si $OA = \sigma_Y$, **A** representa un ensayo de tracción en el que se **ha alcanzado la plastificación**, entonces **A'** debe pertenecer al lugar de plastificación, sea éste el correspondiente a los criterios de Tresca o de Von Mises

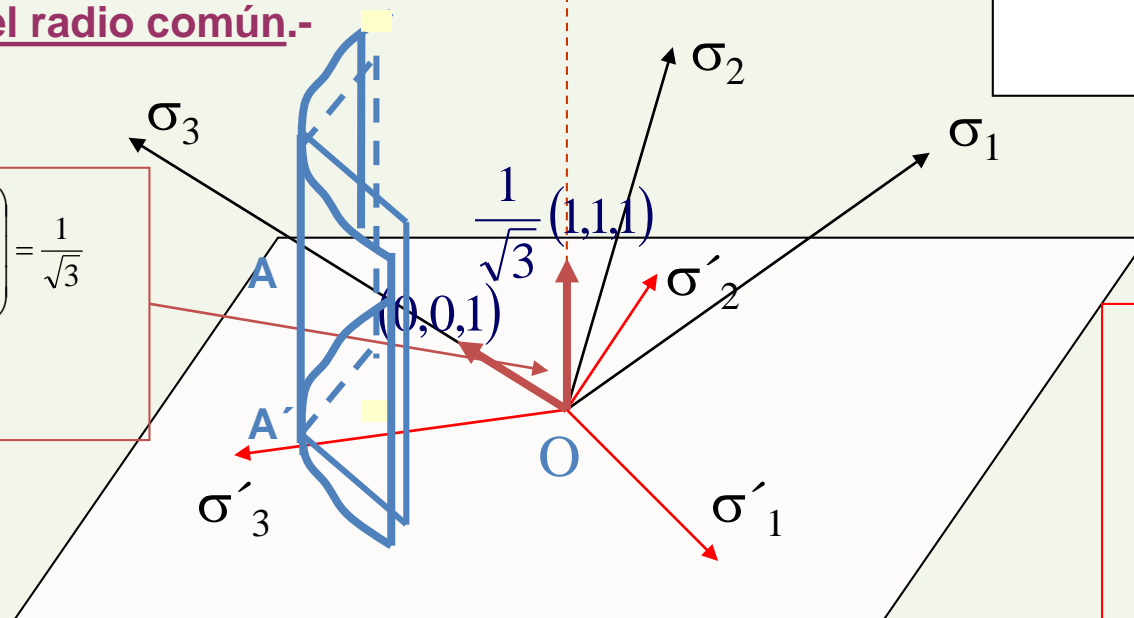
El lugar de plastificación del criterio de **Von Mises** es una **circunferencia circunscrita al hexágono** que es el lugar de plastificación del criterio de **Tresca**



Cálculo del radio común.-

$$\cos \alpha = \frac{1}{\sqrt{3}} (0,0,1) \begin{pmatrix} 1 \\ 1 \\ 1 \end{pmatrix} = \frac{1}{\sqrt{3}}$$

$$\operatorname{sen} \alpha = \sqrt{\frac{2}{3}}$$



$$OA' = \sqrt{\frac{2}{3}} \sigma_Y$$

Radio común a la circunferencia y al hexágono

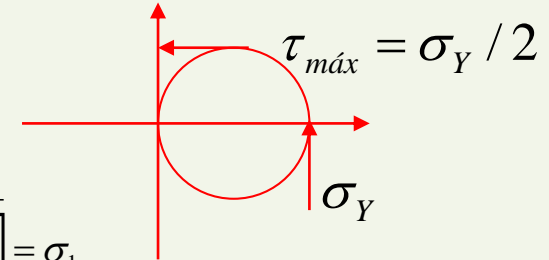
3.2.7 Comparación: Criterio de Tresca vs criterio de Von Mises

(2/3)

Estado tensional de tracción simple.-

$$(a) \quad \sigma_1 > 0 \quad ; \quad \sigma_2 = \sigma_3 = 0$$

$$(b) \quad \tau_{\max} = \frac{\sigma_1 - 0}{2} = \frac{\sigma_1}{2} \quad (c) \quad q = \sqrt{\frac{1}{2} [(\sigma_1 - \sigma_2)^2 + (\sigma_2 - \sigma_3)^2 + (\sigma_3 - \sigma_1)^2]} = \sigma_1$$



Criterio de Tresca:

$$\tau_{\max} = \tau_{\text{crítica}} = \frac{\sigma_Y}{2} \quad \xrightarrow{(b)} \quad \sigma_1 = \sigma_Y$$

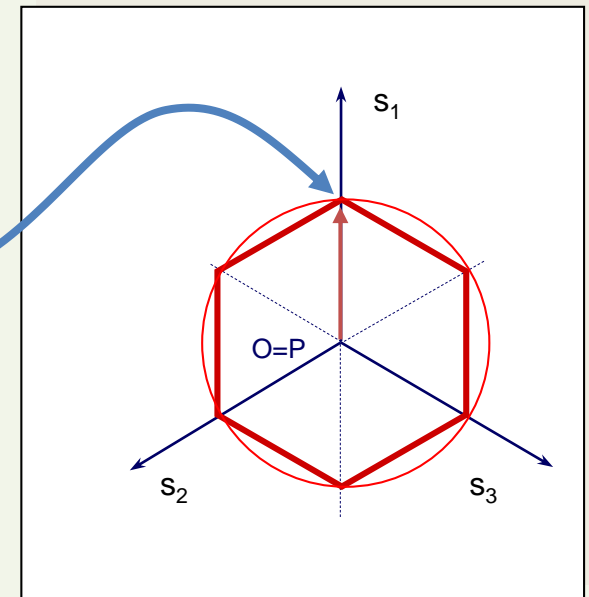
Criterio de Von Mises:

$$q = \sigma_Y \quad \xrightarrow{(c)} \quad q = \sigma_1 = \sigma_Y$$

∴ En tracción simple, ambos criterios predicen plasticificación para igual valor de tensión σ_1 :

$$\sigma_1 = \sigma_Y$$

$$\begin{aligned} \sigma_1 &= \sigma_Y \\ \sigma_2 &= \sigma_3 = 0 \end{aligned}$$



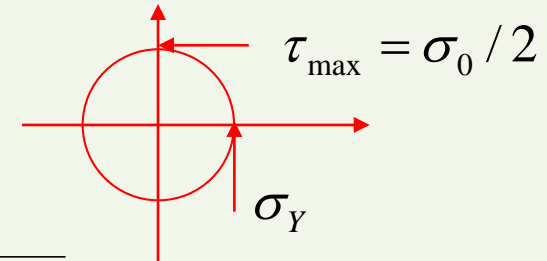
3.2.7 Comparación: Criterio de Tresca vs criterio de Von Mises

(3/3)

Estado tensional de cortante puro.-

$$(a) \quad \sigma_1 = -\sigma_3 \quad ; \quad \sigma_2 = 0$$

$$(b) \quad \tau_{m\acute{a}x} = \frac{\sigma_1 - (-\sigma_1)}{2} = \sigma_1 \quad (c) \quad q = \sqrt{\frac{1}{2}[(\sigma_1 - \sigma_2)^2 + (\sigma_2 - \sigma_3)^2 + (\sigma_3 - \sigma_1)^2]} = \sqrt{3}\sigma_1$$



Criterio de Tresca

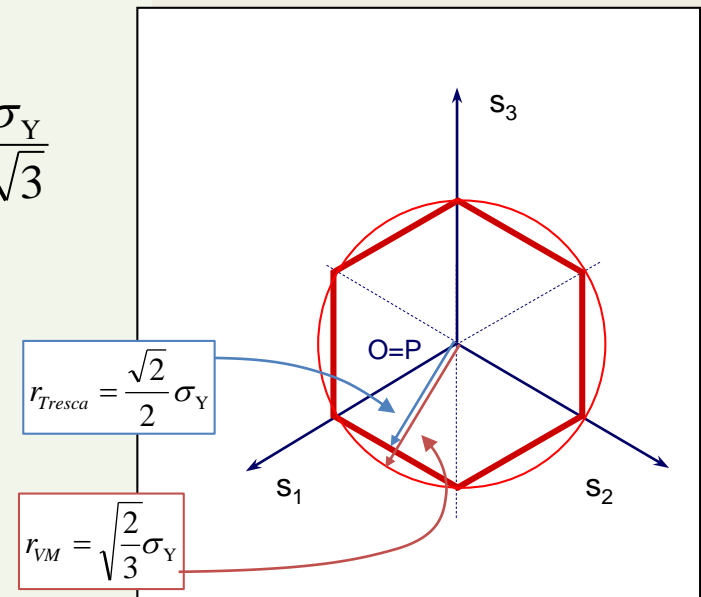
$$\tau_{m\acute{a}x} = \tau_{cr\acute{i}tica} = \frac{\sigma_Y}{2} \quad \xrightarrow{(b)} \quad \sigma_1 = \frac{\sigma_Y}{2}$$

Criterio de Von Mises

$$q = \sigma_Y \quad \xrightarrow{(c)} \quad \sqrt{3}\sigma_1 = \sigma_Y \quad \xrightarrow{(b)} \quad \tau_{m\acute{a}x} = \sigma_1 = \frac{\sigma_Y}{\sqrt{3}}$$

∴ En tracción simple, ambos criterios predicen plastificación para distinto valor de tensión cortante $\tau_{m\acute{a}x}$:

$$\tau_{m\acute{a}x.VM} = \frac{\sigma_Y}{\sqrt{3}} > \frac{\sigma_Y}{2} = \tau_{m\acute{a}x.Tresca}$$



3.2.8 Otros Criterios de Plastificación

(1/5)

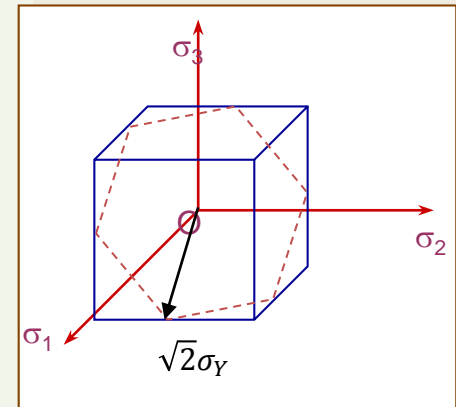
a) Criterio de Rankine-Lame

El sólido permanece dentro del rango elástico si se cumplen simultáneamente las siguientes desigualdades:

$$\begin{cases} |\sigma_1| < \sigma_Y \\ |\sigma_2| < \sigma_Y \\ |\sigma_3| < \sigma_Y \end{cases}$$



Es la extrapolación directa del criterio de plastificación en un ensayo de tracción



La superficie de plastificación es un cubo de lado $2 \cdot \sigma_Y$

¡¡ El criterio depende implícitamente del primer invariante !!

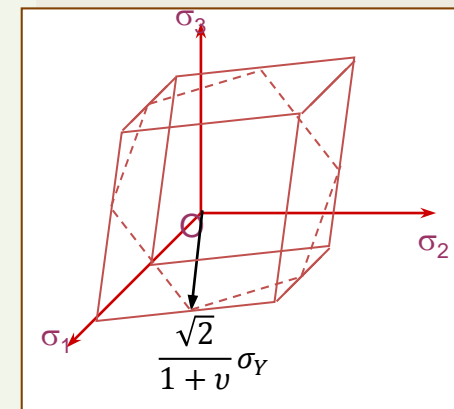
b) Criterio de Saint Venant-Poncelet

El sólido permanece dentro del rango elástico si se cumplen simultáneamente las siguientes desigualdades:

$$\begin{cases} |\varepsilon_1| < \varepsilon_e \\ |\varepsilon_2| < \varepsilon_e \\ |\varepsilon_3| < \varepsilon_e \end{cases}$$

Empleando la ley de Hooke generalizada este criterio también se puede expresar en tensiones

$$\begin{cases} |\sigma_1 - \nu(\sigma_2 + \sigma_3)| < \sigma_Y \\ |\sigma_2 - \nu(\sigma_1 + \sigma_3)| < \sigma_Y \\ |\sigma_3 - \nu(\sigma_1 + \sigma_2)| < \sigma_Y \end{cases}$$



En este caso la superficie de plastificación en el espacio de las tensiones es un romboedro

¡¡ El criterio depende implícitamente del primer invariante !!

3.2.8 Otros Criterios de Plastificación

(2/5)

c) Criterio de Beltrami-Haig

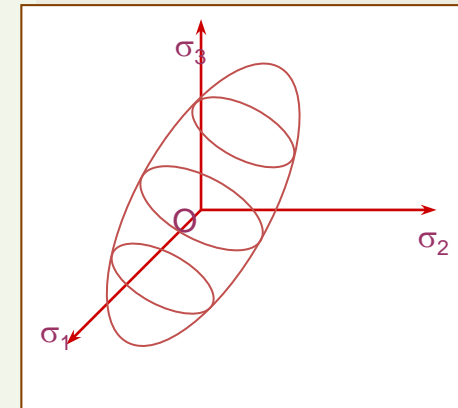
La plastificación se inicia cuando la energía de deformación alcanza el valor de energía que origina la plastificación en un ensayo de tracción

$$\sigma_1^2 + \sigma_2^2 + \sigma_3^2 - 2 \cdot \nu \cdot (\sigma_1 \cdot \sigma_2 + \sigma_1 \cdot \sigma_3 + \sigma_2 \cdot \sigma_3) < \sigma_Y^2$$

$$I_1^2 + 2 \cdot (1 + \nu) \cdot I_2 < \sigma_Y^2$$

Es una generalización del criterio de **Von Mises**, añadiendo una dependencia **cuadrática** del **primer invariante** del tensor de tensiones.

$$f(I_1, I_2) = I_1^2 + 2 \cdot (1 + \nu) \cdot I_2 - \sigma_Y^2 = 0$$



3.2.8 Otros Criterios de Plastificación

(3/5)

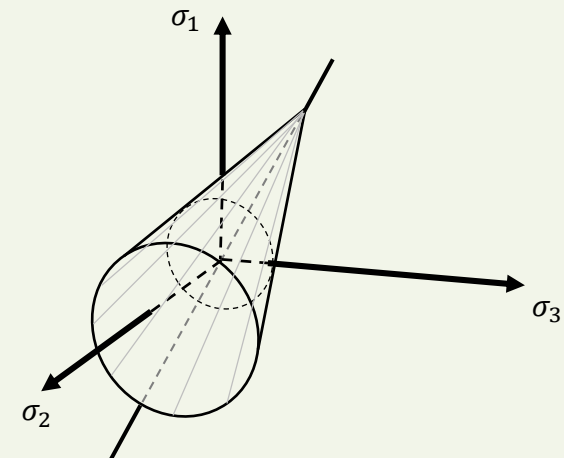
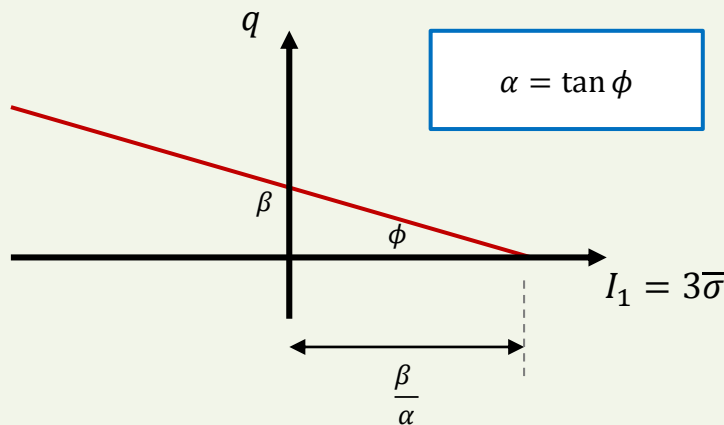
d) Criterio de Drucker-Prager

Se puede considerar una generalización del criterio de **Von Mises**, añadiendo la dependencia **lineal** del **primer invariante** del tensor de tensiones.

$$\sqrt{3J_2} + \alpha I_1 - \beta = 0$$

Donde: α y β son propiedades del material

- Si $\alpha = 0$ el criterio se reduce a von Mises (se recuerda que $q = \sqrt{3J_2}$).
- El parámetro α es adimensional y corresponde a un coeficiente de **fricción interna**.
- El parámetro β tiene unidades de tensión y corresponde a un coeficiente de **cohesión**.



3.2.8 Otros Criterios de Plastificación

(4/5)

e) Criterio de Mohr-Coulomb (1773)

- Este criterio suele utilizarse como **criterio de fallo** en materiales frágiles en los que la resistencia a compresión es mucho mayor que a tracción, y en los que la “**fricción interna**” juega un papel.
- En él, pueden participar los tres invariantes del tensor de tensiones: $f(I_1, I_2, I_3) = 0$
- Por razones históricas, este criterio suele expresarse en términos de **componentes** de tensión, en lugar de **invariantes**.

Hay tres expresiones alternativas para el criterio:

$$k\sigma_1 + \sigma_3 - \sigma_c = 0$$

Donde: k y σ_c son propiedades del material

$$R + \frac{k-1}{k+1}C - \frac{\sigma_c}{k+1} = 0$$

Donde: R y C son el radio y el centro del círculo de Mohr en el plano $\sigma_1 - \sigma_3$.

$$|\tau| - c_0 + \mu\sigma = 0$$

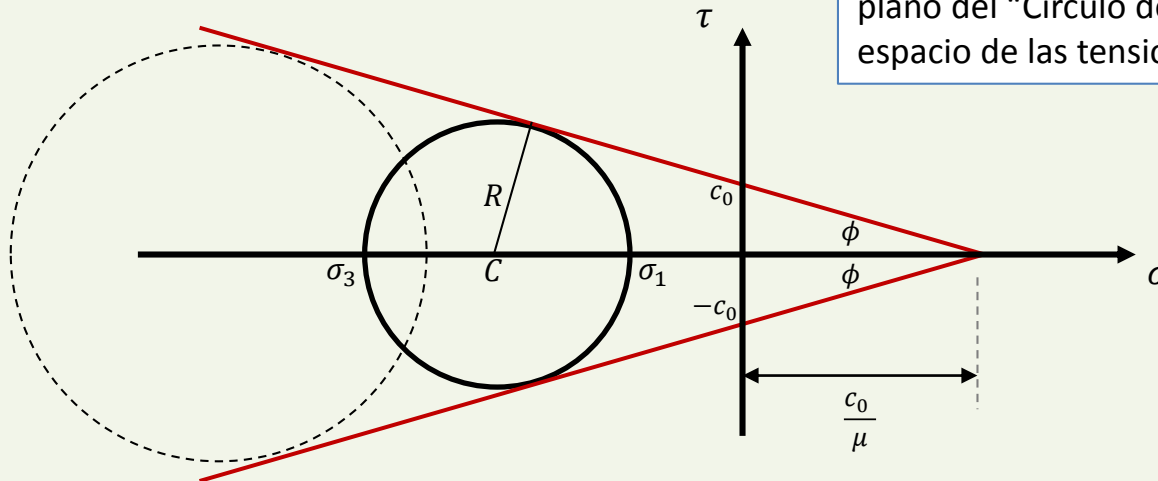
Donde: μ y c_0 son propiedades del material (denominados coeficientes de **fricción** y de **cohesión**, respectivamente).

σ y τ son las tensiones normal y de cortadura en el círculo de Mohr asociado al plano $\sigma_1 - \sigma_3$, cuyo centro y radio son R y C .

3.2.9 Otros Criterios de Plastificación

(5/5)

e) Criterio de Mohr-Coulomb (1773)



En este caso, el criterio se ha representado en el plano del "Círculo de Mohr", en lugar del espacio de las tensiones principales

$$\sin \phi = \frac{k - 1}{k + 1}$$

$$\mu = \tan \phi$$

$$c_0 = \frac{\sigma_c}{2\sqrt{k}}$$

$$R = \frac{1}{2}(\sigma_1 - \sigma_3)$$

$$C = \frac{1}{2}(\sigma_1 + \sigma_3)$$

$$k\sigma_1 + \sigma_3 - \sigma_c = 0$$

Donde: k y σ_c son propiedades del material

$$R + \frac{k - 1}{k + 1}C - \frac{\sigma_c}{k + 1} = 0$$

Donde: R y C son el radio y el centro del círculo de Möhr en el plano $\sigma_1 - \sigma_3$.

$$|\tau| - c_0 + \mu\sigma = 0$$

Donde: μ y c_0 son propiedades del material (denominados coeficientes de **fricción** y de **cohesión**, respectivamente).

Define las **envolventes** de todos los círculos de Möhr que satisfacen el criterio

σ y τ son las tensiones normal y de cortadura en el círculo de Möhr asociado al plano $\sigma_1 - \sigma_3$, cuyo centro y radio son R y C .